

東京大学 正会員 堀川 清司  
東京大学大学院 学生会員 ○藤部 雅彦

構造物の振動について従来から多くの研究がなされてきているが、それはほとんどが空気中での問題を扱ったものであり、水中においての研究は今のところ数が少ない。ところで、構造物が水中で振動する場合、空気中とは違って抗力や揚力の影響を大きく受けるので、異った現象が見られ、水中固有の問題が出てくるはずである。そこでこのような問題を扱う初步的な段階として、弹性円柱の水中における強制振動について調べてみた。

### 1. 実験の概要

実験は図1のように、鋼材で作ったフレームを水路の上から水中に下りてその底部に円柱を固定し、フレームを造波板に接続して単振動させた。測定は、入力振動(フレームの変位)、円柱上端の変位、円柱下端のひずみについて行ない、それをひずみ式変位計、8ミリカメラ、ストレインゲージを用いた。なお、実験に使用した水槽は幅20cm×長さ25m×深さ1m、円柱は直径2.95cm、長さ90.0cm、密度1.088g/cm<sup>3</sup>、曲げ剛性EI = 1.75 × 10<sup>6</sup>dyn/cmで、ウレタンゴム製であり、水中での固有周期は1.3の秒(一次)であった。

初めに、この水槽に水を入れずに、空気中での振動実験を行なった結果、線形性がよく成り立ち、減衰係数  $\beta = 2 \times 10^{-3}$  と判定された。また入力方向に対して直角方向の振動(以下これを「横搖れ」と呼ぶ)は見られなかつた。

これに対し、水中での実験では入力方向(縦方向)の振動とともに入力方向と直角な方向(横方向)の振動が起つた。このために円柱上端の描く軌跡は直線的ではなく、だ円形になつたり、8の字形になつたりといった定性的な変化をも示した。こいつについて代表的な例を示す入力振幅 = 4.7mmをとり、入力振動数を変化させたときの現象を記述すると次のようになる。まず、入力振動数が0.470Hzまでは横搖れはほとんどない。0.581Hzになると入力振動数の2

倍の横搖れが始まるが、このとき横方向の振動をとり出すと「うなり」のように見える。さらに0.769Hzになると横搖れ振動数は入力振動数に等しくなる。つまり、「うなり」のように見えることは変わらない。それが、0.803Hzからは横搖れも単振動になって、円柱上端は安定した円の軌跡を描くようになる。しかも、ここでは左右対称な2種類の安定な円軌道が存在し、初期条件によってどちらかが決定される。さらに0.990Hzになると2つの円運動の他に、前に見られた「うなり」のような運動も現われ、初期条件によって3種類の運動のうちどれかが決まる。そして1.02Hzではだ円運動ではなくなり、1.30Hzからは横搖れの振幅はほぼ0になつてしまう。(図2参照)このように水中での振動が複雑であるのは、いわゆるカルマン渦のようなものの発生に起因すると考えられるが、本実験ではその定量的な性質について明らかにするには至らなかつた。

図1. 実験模式図

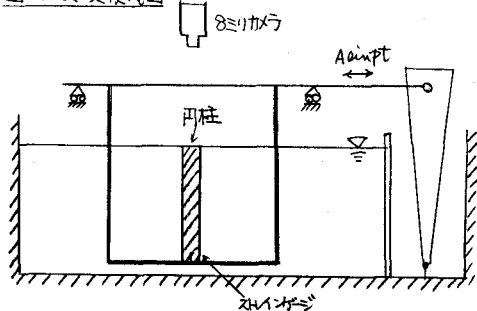
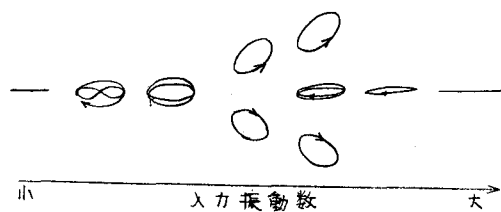


図2. 円柱上端の軌跡の変化の説明図



## 2. 数値計算

微小振動に対してはポテンシャル理論による解析ができる。これは参考文献に詳しいが、ここでは抗力を考えた簡単な方程式を数値的に解いた。構造減衰、造波抵抗に比べて抗力が大きく、円柱の自重によるモーメントは無視できるとし、 $C_0$ 、 $C_H$ を一定とすれば基礎方程式は

$$SS \frac{\partial^4 U}{\partial t^4} + GEI \frac{\partial^4 U}{\partial t^2} = C_0 \frac{\partial^2}{\partial t^2} \left( \bar{u}_w - \frac{\partial U}{\partial t} \right) \left| \bar{u}_w - \frac{\partial U}{\partial t} \right| + C_H SS \frac{\partial^4 U}{\partial t^2} - (C_H - 1) SS \frac{\partial^4 U}{\partial t^2} \quad (1)$$

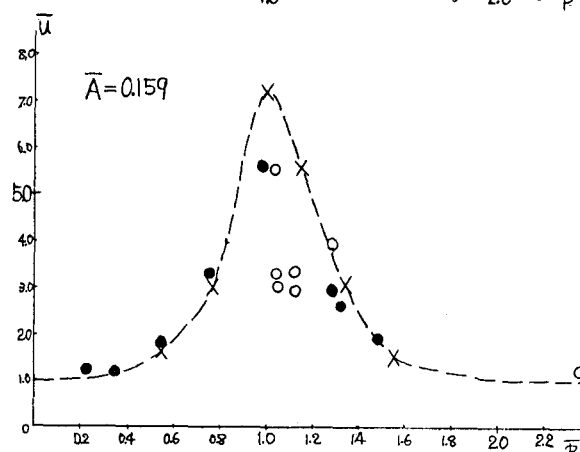
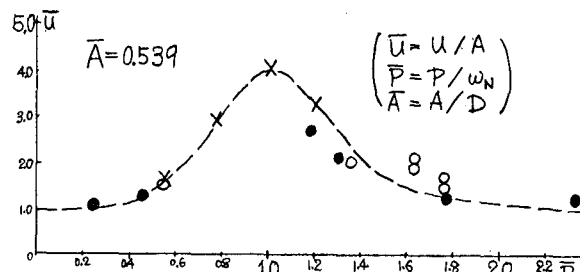
$$\begin{aligned} U &= U(t, z) : (t) の 時 間 \quad z : 水 の 深 度 \quad S' : 円 柱 の 密 度 \\ EI &: 円 柱 の 曲げ 刚 性 \quad D : 円 柱 の 面 積 \quad S : 円 柱 の 断 面 積 \\ \bar{u}_w &: 水 面 变 位 \quad C_0, C_H : 抗 力, 質 量 無 數 (1.0 と 20) \end{aligned}$$

となり、これを計算機で解くために円柱をN個の要素に分けて連立方程式にし、 $U = U' + A \sin \omega t$ を代入して、さらに無次元化した(2)式を解いた。

$$\begin{aligned} \ddot{U}' &= \frac{3N}{\beta} K \ddot{U}' + \frac{2C_0 \bar{A}}{\beta(C_0 + C_H + 1)} (\dot{U}' + \bar{P} \cos \omega t) | \dot{U}' + \bar{P} \cos \omega t | \\ &+ \bar{P}^2 \sin \omega t \quad (2) \end{aligned}$$

$$\begin{aligned} (\ddot{U}' &= U'/A, N = l/d, K_{ij} = [\frac{1}{2}(\frac{2i-1}{2N})^3 + t_{ij}^3(3-t_{ij})]^{-1} \\ t_{ij} &= \frac{2j-1}{2i-1} (i \neq j), \bar{S} = S/S, \bar{P} = P/w_N, w_N = (\frac{d}{l})^2 \sqrt{EI/A}, \bar{A} = A/D) \end{aligned}$$

図3-1 円柱上端変位の応答



## 3. 考察およびまとめ

まず円柱の水中での固有周期については、 $C_H = 2.0$ として計算した値 $T_N = 1.32$ 秒に対して、実測値 1.30 秒であり、ポテンシャル理論から得られる $C_H = 1.94$ を用いると $T_N = 1.30$ 秒となる。

次に応答の振幅についてはポテンシャル理論は適用できない。そこで前節で述べたような方法で計算した値と、実験で得られたに縦方向の応答とを比較したのが図3-1と図3-2である。計算は横搖らの影響を無視したものであるが、ある程度応答の目安を与えている。しかも、レイノルズ数とポテンシャル理論から予想して、実際の $C_0$ はより大きく、 $C_H$ はより小さいと思われ、このほど近似の程度はもう少しよくななるが、横搖らが相対的に大きい場合はすこぶる大きく、横搖らの変化の不連続性とともに今後の課題として残った。

参考文献 伊藤喜行、木原力

円柱の動揺に伴う造波抵抗

運輸省港湾技術研究所報告 第11巻 第3号 2

図3-2 円柱下端モーメントの応答

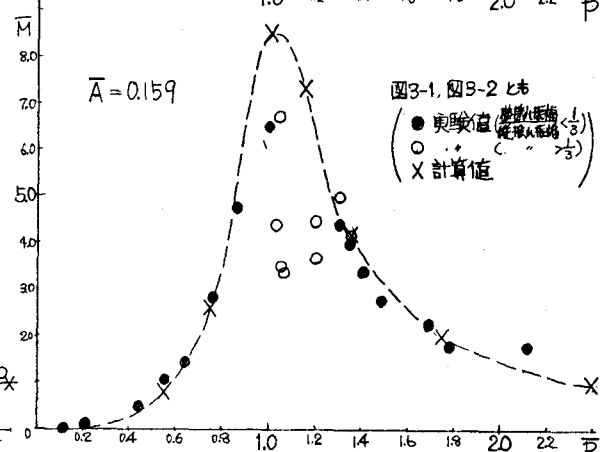
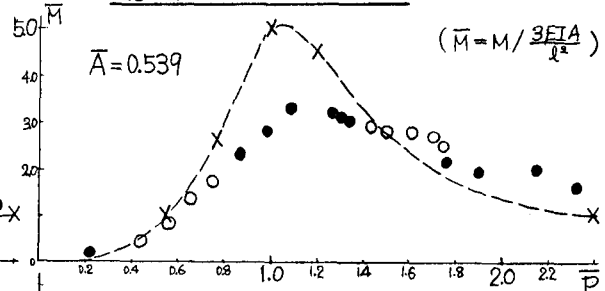


図3-1, 図3-2 と  
(● 実験値 (横搖ら無視)  
(○ 実験値 (横搖ら考慮)  
X 計算値)